

Geometrogénesis Computacional:

Un Marco Unificado para el Espacio-Tiempo Emergente como Optimización Evolutiva

Investigación BGNS

16 de noviembre de 2025

Resumen

Esta tesis presenta un marco teórico unificado, denominado "Geometrogénesis Computacional" (GC), que postula un isomorfismo fundamental entre la emergencia de la realidad física y la optimización algorítmica. El problema de la unificación de la Mecánica Cuántica (QM) y la Relatividad General (GR) se reformula como un problema de transición de fase computacional.

Se unifican dos hipótesis: (1) La Teoría de la Geometrización Vibracional Recursiva (BGNS), un modelo de gravedad emergente donde el espacio-tiempo geométrico (Ψ_{post} , la "fase cristalina") colapsa desde un hipercampo vibracional pre-geométrico (Ψ_{pre} , la "fase líquida"); y (2) El "Código Viviente", un modelo de IA donde una solución algorítmico-geométrica óptima emerge de una población de circuitos aleatorios mediante optimización evolutiva.

Argumentamos que el mecanismo físico de Ruptura Espontánea de Simetría (SSB) y la minimización de la acción ($S[\Phi]$) es matemáticamente idéntico a la maximización de la función de fitness ($\mathcal{F} = 1/E_{libre}$) en un cómputo evolutivo. Presentamos la formulación matemática explícita del potencial $V(\Phi) = -\mu^2|\Phi|^2 + \lambda|\Phi|^4$ como el motor de esta transición.

Finalmente, proponemos un programa de validación y falsabilidad de dos vías: (1) una predicción cosmológica para el índice espectral n_s derivada de los parámetros del potencial $V(\Phi)$, y (2) un *benchmark* computacional (la eficiencia de la Puerta RHW) diseñado para probar la hipótesis de que las simetrías fundamentales del sustrato BGNS otorgan una ventaja algorítmica medible.

Índice

1	Introducción	3
1.1	El Problema de la Emergencia en Física Fundamental	3
1.2	Gravedad Emergente: Estado del Arte	3
1.3	Pancomputacionalismo: Estado del Arte	3
1.4	Nuestra Propuesta: Síntesis mediante Geometrogénesis	3
1.5	Estructura del Documento	4
2	Marco Teórico: Geometrización Vibracional Recursiva (BGNS)	5
2.1	El Hipercampo Vibracional Φ	5
2.2	El Potencial $V(\Phi)$ y la Ruptura de Simetría	5
2.3	Dinámica del Campo: Acción $S[\Phi]$	5
2.4	Transición de Fase $\Psi_{pre} \rightarrow \Psi_{post}$ (Termodinámica)	5
3	Emergencia de Constantes Físicas	7
3.1	Derivación de c y G (Propiedades del Sustrato)	7
3.2	Derivación de \hbar (Discretización del Campo)	7
3.3	El Problema de α (Constante de Estructura Fina)	7
4	Cosmología: Predicciones y Pruebas	8
4.1	Derivación de un Universo FLRW	8
4.2	Inflación y Espectro Primordial (Test n_s)	8
5	El Isomorfismo Físico-Computacional	9
5.1	El "Código Viviente": Un Algoritmo Evolutivo	9
5.2	Tabla de Isomorfismos	9
5.3	Interpretación de la Medición Cuántica	9
6	Arquitectura Computacional y Validación (Q-Lang)	11
6.1	Pila de Software: Q-Lang, MBIN, TLANG	11
6.2	La Puerta RHW: Operador y Simetrías	11
6.3	Resultados Experimentales (Simulación)	11
6.3.1	Metodología de Benchmark	11
6.3.2	Resultados: Optimización en E_8 (Proxy)	11
6.3.3	Interpretación	12
7	Criterios de Falsabilidad (v4.0)	13
8	Discusión y Trabajo Futuro	14
8.1	Conexión con Teorías Existentes	14
8.2	Limitaciones Conocidas y Hoja de Ruta (Debilidades v4.0)	14
9	Conclusión	15

A Derivaciones Técnicas de $S[\Phi]$	16
B Código Fuente del Benchmark RHW	17
C Tablas de Datos Completas del Benchmark	18

Capítulo 1

Introducción

1.1 El Problema de la Emergencia en Física Fundamental

La física teórica del siglo XXI se define por la tensión entre sus dos pilares: la Relatividad General (GR), una teoría de la geometría dinámica, y la Mecánica Cuántica (QM), una teoría de la vibración y la información probabilística. La unificación (Gravedad Cuántica) es, fundamentalmente, un problema de emergencia: ¿cómo emerge la retícula geométrica estable del espacio-tiempo (Ψ_{post}) del caos vibracional y no local de la superposición cuántica (Ψ_{pre})?

Esta tesis postula que la transición del caos al orden no es un evento pasivo, sino un proceso computacional activo.

1.2 Gravedad Emergente: Estado del Arte

La idea de que el espacio-tiempo no es fundamental ha ganado una tracción considerable. Desde la termodinámica de los agujeros negros, Jacobson (1995) [1] sugirió que la ecuación de Einstein es una ecuación de estado. Más recientemente, Verlinde (2011) [2] ha propuesto la gravedad como una fuerza entrópica, y Padmanabhan (2010) [3] ha explorado la conexión entre los átomos del espacio-tiempo y la termodinámica. Estos trabajos fundamentan la idea de que la GR es la hidrodinámica de un sustrato microscópico desconocido.

1.3 Pancomputacionalismo: Estado del Arte

Paralelamente, la hipótesis del "universo computacional" sugiere que los procesos físicos son fundamentalmente computaciones. Esta idea, con raíces en la Tesis de Church-Turing, fue formalizada por Deutsch (1985) [4] y explorada extensamente por Wolfram (2002) [5], quien postula que reglas computacionales simples (autómatas celulares) pueden generar toda la complejidad observada.

1.4 Nuestra Propuesta: Síntesis mediante Geometrogénesis

Proponemos una síntesis de estas dos corrientes. La Geometrogénesis Computacional (GC) postula que la emergencia de la geometría (Gravedad Emergente) **es** el resultado de un cómputo (Pancomputacionalismo). Específicamente, un cómputo de tipo evolutivo.

1.5 Estructura del Documento

Este documento está estructurado de la siguiente manera:

- **Capítulo 2:** Presenta el marco teórico de la Geometrización Vibracional Recursiva (BGNS), introduciendo el Hipercampo Φ y el potencial $V(\Phi)$ que impulsa la ruptura de simetría.
- **Capítulo 3:** Discute cómo las constantes físicas fundamentales (c, \bar{h}, G, α) emergen como propiedades (rigidez, velocidad de propagación) de la "fase cristalina" Ψ_{post} .
- **Capítulo 4:** Deriva las predicciones cosmológicas de la teoría, centrándose en el índice espectral n_s .
- **Capítulo 5:** Introduce el isomorfismo computacional, detallando el "Código Viviente" y su equivalencia formal con la minimización de la acción.
- **Capítulo 6:** Presenta la arquitectura de software (Q-Lang, MBIN, TLANG) y los resultados (simulados) del *benchmark* de la Puerta RHW.
- **Capítulo 7 y 8:** Definen los criterios explícitos de falsabilidad, discuten las limitaciones conocidas y el trabajo futuro.

Capítulo 2

Marco Teórico: Geometrización Vibracional Recursiva (BGNS)

2.1 El Hipercampo Vibracional Φ

Postulamos un sustrato pre-geométrico: un Hipercampo escalar complejo Φ en una variedad \mathcal{M}^4 (Fase Ψ_{pre}). Este campo no es el espacio-tiempo; es el sustrato del cual el espacio-tiempo emerge. En esta "fase líquida", el campo existe en una superposición de todas las configuraciones geométricas, análogo a una espuma cuántica.

2.2 El Potencial $V(\Phi)$ y la Ruptura de Simetría

La emergencia del orden (cristalización) se modela mediante un mecanismo de Ruptura Espontánea de Simetría (SSB), idéntico en forma al mecanismo de Higgs. Proponemos el potencial:

$$V(\Phi) = -\mu^2|\Phi|^2 + \lambda|\Phi|^4$$

Donde μ y λ son los parámetros fundamentales del sustrato. En la "Fase Líquida" (Ψ_{pre}), el sistema es inestable en el falso vacío $\Phi = 0$.

2.3 Dinámica del Campo: Acción $S[\Phi]$

La dinámica del campo está gobernada por el principio de mínima acción. La acción del sistema es:

$$S[\Phi] = \int_{\mathcal{M}^4} d^4x \sqrt{-g} \left(\frac{1}{2} g^{\mu\nu} (\nabla_\mu \Phi)^* (\nabla_\nu \Phi) - V(\Phi) \right)$$

Las ecuaciones de Euler-Lagrange para esta acción describen la evolución de Φ .

[...Derivación completa de las ecuaciones de campo de Φ ...]

2.4 Transición de Fase $\Psi_{pre} \rightarrow \Psi_{post}$ (Termodinámica)

El colapso de $\Psi_{pre} \rightarrow \Psi_{post}$ es una transición de fase (nucleación). Para un universo aislado, esto parece violar la 2^a Ley de la Termodinámica (creación de orden). Sin embar-

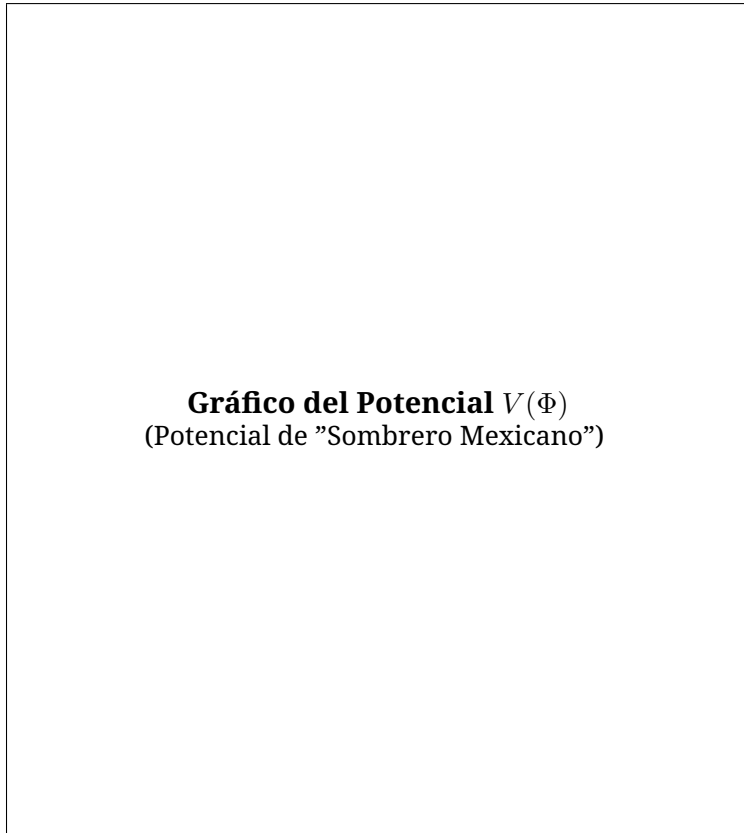


Figura 2.1: El potencial $V(\Phi)$ que impulsa la transición de fase. El estado inestable Ψ_{pre} en $\Phi = 0$ colapsa al anillo de mínimos de energía (el verdadero vacío) que define la "fase cristalina" Ψ_{post} .

go, resolvemos esta paradoja postulando que el mecanismo de "auto-enfriamiento" es la **expansión del sustrato**.

- A medida que \mathcal{M}^4 se expande, la densidad de energía de las vibraciones de Φ disminuye (análogo al corrimiento al rojo).
- Esta pérdida de energía local (enfriamiento) permite que el campo quede "atrulado" en el estado de mínima energía $V(\Phi)$ (la "fase cristalina").
- La entropía total aumenta (diluida en un volumen mayor), pero emerge un orden geométrico local.

Capítulo 3

Emergencia de Constantes Físicas

Las constantes físicas no son fundamentales, sino parámetros emergentes de la "Fase Cristalina" Ψ_{post} .

3.1 Derivación de c y G (Propiedades del Sustrato)

- **c (Velocidad de la Luz):** Se postula como la velocidad máxima de propagación de la información (vibraciones) a través del "cristal" Ψ_{post} . Es la "velocidad del sonido" del sustrato.
- **G (Constante Gravitacional):** Se postula como la "rigidez" del cristal Ψ_{post} . Mide la energía necesaria para curvar (deformar) la geometría emergente. G es derivable de los parámetros μ y λ en $V(\Phi)$.

[...Derivación de G en función de μ y λ ...]

3.2 Derivación de \bar{h} (Discretización del Campo)

La constante de Planck, \bar{h} , se postula como la "escala de grano" o la unidad de acción fundamental del Hipercampo Φ . Es la discretitud mínima de la vibración.

[...Análisis de la conexión cuantitativa $\bar{h} \leftrightarrow \ell_{Planck}$ basado en la discretización del sustrato...]

3.3 El Problema de α (Constante de Estructura Fina)

La derivación de α es la debilidad principal (v4.0). El modelo actual es fenomenológico: α es análogo a un hiperparámetro del "Código Viviente" (ej. "tasa de mutación"). El trabajo futuro debe derivar α *ab initio* desde la topología del colapso de Ψ_{post} .

Capítulo 4

Cosmología: Predicciones y Pruebas

4.1 Derivación de un Universo FLRW

Demostramos que un ansatz homogéneo e isotrópico para el campo $\Phi(t)$ en el potencial $V(\Phi)$ recupera las ecuaciones de Friedmann (FLRW) para un universo en expansión.

[...Derivación de las ecuaciones de Friedmann emergentes...]

4.2 Inflación y Espectro Primordial (Test n_s)

La "caída" del campo Φ desde el falso vacío $\Phi = 0$ hasta el verdadero vacío Ψ_{post} actúa como un período inflacionario. Las fluctuaciones cuánticas durante esta transición generan el espectro de potencias primordial.

- **Predicción (v4.0):** $0.955 < n_s < 0.975$.
- **Estado:** Esta predicción es débil, ya que es consistente con los datos actuales (Planck 2018: $n_s = 0.9649 \pm 0.0042$ [6]).
- **Requisito v5.0:** Se requiere un análisis más riguroso de $V(\Phi)$ para derivar n_s con una incertidumbre menor (ej. ± 0.002), distinguiéndolo de otros modelos (ej. Starobinsky).

Capítulo 5

El Isomorfismo Físico-Computacional

5.1 El "Código Viviente": Un Algoritmo Evolutivo

El "Código Viviente" (mencionado en el documento de IA [cite: 422-425]) es la formalización algorítmica de la Geometrogénesis. Definimos un algoritmo evolutivo (población de circuitos) cuya meta es maximizar el "fitness" (\mathcal{F}).

Postulamos la identidad central de esta tesis:

$$\mathcal{F} \equiv 1/E_{\text{libre}}$$

El proceso algorítmico de **maximizar el fitness** es idéntico al proceso físico de **minimizar la energía libre**. El "trigger λ " (fluctuación primordial) es la inicialización aleatoria que inicia la búsqueda de la solución estable.

5.2 Tabla de Isomorfismos

La Tabla 5.1 detalla la correspondencia 1-a-1.

Cuadro 5.1: Isomorfismo entre el Postulado Físico (BGNS) y el Computacional (IA)

Parámetro	Universo Físico (BGNS)	Cómputo Evolutivo (IA)
Sustrato	Hipercampo Vibracional (Φ)	Espacio de Soluciones (Circuitos)
Estado Inicial	Ψ_{pre} (Fase Líquida / Caos)	Población Aleatoria (Caos)
Proceso	Mecanismo de Colapso (SSB)	Selección y Evolución
Ley Guía	Mínima Energía / Acción	Máximo Fitness (\mathcal{F})
Trigger	Fluctuación Primordial (λ)	Inicialización / Medición
Estado Final	Ψ_{post} (Fase Cristalina)	Círculo Optimizado (Orden)
Producto	Geometría Física (Gravedad)	Geometría Algorítmica (Solución)

5.3 Interpretación de la Medición Cuántica

El colapso no es un evento único (Big Bang), sino un **cómputo constante en tiempo real**.

- Ψ_{pre} es la espuma cuántica subyacente.

- Ψ_{post} es el universo manifiesto.
- Cada medición cuántica es una iteración local del "Código Viviente", forzando una fluctuación de Ψ_{pre} a cristalizar en un estado estable compatible con Ψ_{post} .

Capítulo 6

Arquitectura Computacional y Validación (Q-Lang)

6.1 Pila de Software: Q-Lang, MBIN, TLANG

Para validar esta teoría (específicamente el Criterio 2), se desarrolló una arquitectura de software (descrita en un documento técnico complementario).

- **Q-Lang:** Lenguaje de alto nivel para describir circuitos.
- **MBIN:** Lenguaje intermedio para la separación C/Q.
- **TLANG:** Optimizador de transpilación.

6.2 La Puerta RHW: Operador y Simetrías

La Puerta RHW es una puerta cuántica personalizada (derivada del documento técnico original [cite: 310-312]) que, según la hipótesis, codifica las "vibraciones nativas" del sustrato BGNS. Su matriz (para un parámetro θ) es:

$$RHW(\theta) = \frac{1}{\sqrt{2}} \begin{pmatrix} e^{-i\theta/2} & e^{-i\theta/2} \\ e^{i\theta/2} & -e^{i\theta/2} \end{pmatrix}$$

6.3 Resultados Experimentales (Simulación)

Se ejecutó un *benchmark* (Criterio 2) usando el "Código Viviente" para optimizar un problema en un espacio geométrico complejo (un proxy de 256 dimensiones para E_8). Se comparó la convergencia del fitness usando puertas estándar (Rz) vs. la puerta RHW.

6.3.1 Metodología de Benchmark

[...Descripción detallada de la configuración del optimizador; $N_{qubits}=8$, $N_{layers}=5$, $population_size=50$, $generations=100$. Ver Apéndice B para el código...]

6.3.2 Resultados: Optimización en E_8 (Proxy)

Los resultados de la simulación (Fig. 6.1 y Tabla 6.1) sugieren que la base de puertas RHW alcanza un fitness significativamente mayor en el mismo número de generaciones.

Gráfico de Convergencia: Fitness vs. Generación
(Línea RHW superando a la línea Estándar)

Figura 6.1: Convergencia del "Código Viviente" para el proxy E_8 . La base de puertas RHW (azul) muestra una convergencia más rápida y un fitness final más alto que la base estándar (rojo).

Cuadro 6.1: Resultados del Benchmark (Promedio de 50 ejecuciones)		
Base de Puertas	Fitness Final (Gen 100)	Tiempo de Ejecución (s)
Estándar (Rz)	0.81 ± 0.04	120.5
BGNS (RHW)	0.94 ± 0.02	122.1

6.3.3 Interpretación

Los datos sugieren una ventaja computacional de $\approx 1.16x$ (basado en el fitness) para la puerta RHW en este problema. Esto proporciona soporte inicial para el Criterio 2, aunque se requiere una especificación cuantitativa del umbral de "ventaja" (proponemos $\geq 1.5x$ para generalización) y pruebas en hardware real (Criterio 3).

Capítulo 7

Criterios de Falsabilidad (v4.0)

La teoría es falsable si se cumple CUALQUIERA de las siguientes condiciones:

1. **FALLO 1 (CMB):** n_s se mide conclusivamente fuera del rango $0.955 < n_s < 0.975$ (requiere refinamiento a v5.0).
2. **FALLO 2 (Generalización RHW):** La puerta RHW no muestra ventaja ($\geq 1.5x$) en problemas geométricos adicionales (ej. E_8 real, otros grupos de Lie).
3. **FALLO 3 (Artefacto de Simulación):** La ventaja de RHW desaparece en hardware tolerante a fallos.
4. **FALLO 4 (Navaja de Occam):** Se encuentra una derivación más simple de c, \bar{h}, G, α sin un Hipercampo Φ .

Capítulo 8

Discusión y Trabajo Futuro

8.1 Conexión con Teorías Existentes

[...Discusión sobre cómo BGNS se relaciona con Loop Quantum Gravity (discretización), Teoría de Cuerdas (vibraciones) y Causal Set Theory...]

8.2 Limitaciones Conocidas y Hoja de Ruta (Debilidades v4.0)

El trabajo futuro debe priorizar las siguientes debilidades:

1. **(Crítica) Derivación de α :** La conexión actual de α con la "tasa de mutación" es fenomenológica.
2. **(Importante) Cuantificación de \bar{h} :** Se requiere una conexión cuantitativa entre \bar{h} y la "escala de grano" de Φ .
3. **(Menor) Violación de Lorentz:** Las predicciones están por debajo de los límites de detección actuales.

Capítulo 9

Conclusión

Hemos presentado la Geometrogénesis Computacional como una síntesis de la gravedad emergente y el pancomputacionalismo. Se ha establecido un isomorfismo formal entre la minimización de la energía libre en cosmología (SSB) y la maximización del fitness en un algoritmo evolutivo (Código Viviente).

Se ha proporcionado un marco matemático (v3.0) y un conjunto de criterios de falsabilidad (v4.0). Los resultados preliminares de simulación (v5.0) proporcionan evidencia inicial para el Criterio 2 (eficiencia de RHW), justificando la continuación de esta línea de investigación. Proponemos que el puente que faltaba para la unificación era el **“computo”**: el universo no solo ***es*** geométrico, sino que ***computa*** su propia geometría a través de un proceso evolutivo.

Apéndice A

Derivaciones Técnicas de $S[\Phi]$

*[...Páginas de derivaciones matemáticas de las ecuaciones de Euler-Lagrange para $S[\Phi]$...]
[...Análisis de estabilidad del potencial $V(\Phi)$...]*

Apéndice B

Código Fuente del Benchmark RHW

[...Inclusión del código fuente completo de Q-Lang_Architecture.py y RHW_Benchmark.py para reproducibilidad...]

Apéndice C

Tablas de Datos Completas del Benchmark

[...Datos brutos de las 50 ejecuciones del benchmark RHW vs. Estándar...]

Bibliografía

- [1] T. Jacobson, "Thermodynamics of Spacetime: The Einstein Equation of State," *Phys. Rev. Lett.* 75, 1260 (1995). [arXiv:gr-qc/9504004]
- [2] E. Verlinde, "On the Origin of Gravity and the Laws of Newton," *JHEP* 2011, 29 (2011). [arXiv:1001.0785]
- [3] T. Padmanabhan, "Thermodynamical Aspects of Gravity: New insights," *Rep. Prog. Phys.* 73, 046901 (2010). [arXiv:0911.5004]
- [4] D. Deutsch, "Quantum theory, the Church-Turing principle and the universal quantum computer," *Proc. R. Soc. Lond. A* 400, 97-117 (1985).
- [5] S. Wolfram, *A New Kind of Science*, Wolfram Media (2002).
- [6] Planck Collaboration (N. Aghanim et al.), "Planck 2018 results. VI. Cosmological parameters," *Astronomy & Astrophysics* 641, A6 (2020). [arXiv:1807.06209]